

Statistika SIR-a na izlazu sistema sa neregenerativnim relejem u prisustvu interferencije

Aleksandra M. Cvetković¹, Jelena A. Anastasov², Goran T. Đorđević³, Mihajlo Č. Stefanović⁴

Sadržaj - U ovom radu razmatrane su statističke karakteristike odnosa snage signala i interferencije na prijemom kraju linka sa dve deonice u prisustvu kanalne interferencije. Neregenerativni relejni terminal, čije je pojačanje zasnovano na informaciji o stanju kanala, kao i prijemni terminal su pod uticajem kanalne interferencije. Izvedeni su analitički izrazi za funkciju gustine verovatnoće i kumulativnu funkciju raspodele odnosa snage signala i interferencije. Numerički rezultati potvrđeni su Monte Karlo simulacijama.

Ključne reči – kanalna interferencija, neregenerativni relej, verovatnoća prekida, Rejljev feding.

I UVOD

Tehnika prenosa signala preko više deonica sa relejnim terminalima ima brojne prednosti u odnosu na tradicionalne komunikacione mreže i koristi se često u bežičnim i *ad-hoc* komunikacionim sistemima. Kada su smetnje u kanalu direktnog linka velike, između izvornog i odredišnog terminala postavlja se još jedan terminal (relejni). Korišćenje linka sa dve deonice omogućava mnogo bolju komunikaciju čvorova i ne zahteva veliku snagu na predaji u cilju smanjivanja fedinga i efekta senke.

U zavisnosti od tipa i kompleksnosti relejnog terminala, postoje dva osnovna modela prenosa sa dve deonice: regenerativni i neregenerativni. Kod neregenerativnog prenosa signal se samo pojačava i ponovo šalje do narednog terminala. Nasuprot njemu, pri regenerativnom prenosu signal se dekoduje, pojačava i zatim ponovo šalje do sledećeg čvora [1-2]. Neregenerativni model prenosa se dodatno deli na dve podkategorije: sistemi sa relejem čije je pojačanje zasnovano na informaciji o trenutnom stanju kanala (CSI- channel state information) sa prethodne deonice i one sisteme u kojima relej ima fiksno pojačanje [3-4]. U prvoj potkategoriji relej koristi informaciju o

Ovaj rad je delom finansiran od strane Ministarstva nauke Republike Srbije u okviru projekta "Kompjuterska simulacija i 3-D modeliranje originalnih patenata Nikole Tesle" (evid.br.-12210).

¹Aleksandra M. Cvetkovic, Elektronski fakultet u Nišu, Aleksandra Medvedeva 14, 18000 Niš, Srbija, e-mail: aleksandra.cvetkovic@elfak.ni.ac.rs

²Jelena A. Anastasov, Elektronski fakultet u Nišu, Aleksandra Medvedeva 14, 18000 Niš, Srbija, e-mail: anastasovjelena@gmail.com

³Goran T. Đorđević, Elektronski fakultet u Nišu, Aleksandra Medvedeva 14, 18000 Niš, Srbija, e-mail: goran@elfak.ni.ac.rs

⁴Mihajlo Č. Stefanović, Elektronski fakultet u Nišu, Aleksandra Medvedeva 14, 18000 Niš, Srbija, e-mail: mihajlo.stefanovic@elfak.ni.ac.rs

stanju kanala sa prve deonice u cilju kontrolisanja snage signala na drugoj deonici. S druge strane, kada se koristi relej sa fiksnim pojačanjem na izlazu sistema dobija se signal promenljive snage, ali praktična realizacija ovakvog prenosa je znatno jednostavnija od CSI baziranog prenosa [5-6].

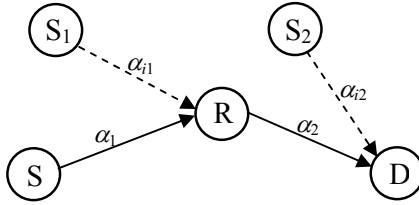
U mnogim do sada objavljenim radovima cilj istraživanja je bio izračunavanje verovatnoće prekida bežičnih komunikacionih sistema sa dve deonice u sredini u kojoj je nivo šuma znatno veći od nivoa interferencije. Verovatnoća prekida, kao i verovatnoća greške kooperativnog sistema prilikom regenerativnog i neregenerativnog CSI prenosa u kanalima sa Rejljevim [5] i Nakagami-jevim fedingom [7] je takođe analizirana. Nadalje su istraživane performanse kooperativnog sistema pri prenosu signala kada relejni terminal ima fiksno pojačanje [2]. Analiziran je i prenos signala preko više deonica neregenerativnog releja sa fiksnim pojačajem u kanalima sa Nakagami-n (Rajsovim), Nakagami-q (Hojtovim) i Nakagami-m fedingom [4]. Za razliku od navedenih radova, gde su razmatrani relejni sistemi samo u prisustvu Gausovog šuma, a uticaj interferencije je zanemaren, u radu [8] izvedene su formule u zatvorenom obliku za izračunavanje verovatnoće prekida neregenerativnog i regenerativnog releja u sredini u kojoj je nivo interferencije mnogo veći od nivoa šuma. U tom radu je razmatrana verovatnoća prekida za slučaj kada je samo odredišni terminal pod uticajem ko-kanalne interferencije, a na prvoj deonici je prisutan samo beli Gausov šum.

U ovom radu, razmatran je neregenerativni kooperativni sistem sa relejem čije je pojačanje zasnovano na informaciji o trenutnom stanju kanala i analiziran prenosni kanal sa Rejljevim fedingom u prisustvu kanalne interferencije. Prepostavili smo da je na svakoj deonici prisutan uticaj interferencije. Izvedene su formule u zatvorenom obliku za funkciju gustine verovatnoće i kumulativnu funkciju raspodele odnosa snage signala i interferencije na izlazu sistema. Numerički rezultati, dobijeni na osnovu analitičkog pristupa, potvrđeni su Monte Karlo simulacijama.

II MODEL SISTEMA

Na slici 1 prikazan je model bežičnog komunikacionog kooperativnog sistema. Razmatrali smo bežični komunikacioni sistem u kome je prenos između izvornog *S* i odredišnog terminala *D* ostvaren preko neregenerativnog releja. Uticaj ko-kanalne interferencije i belog aditivnog Gausovog šuma je prisutan na mestima relejnog i

odredišnog terminala. Nivo kanalne interferencije je znatno veći od nivoa termalnog šuma tako da se u takvoj sredini nivo šuma može zanemariti.



Sl. 1. Komunikacioni kanal sa dve deonice u prisustvu fedinga i interferencije

Uvodimo pretpostavku da terminal S emituje željeni signal $r_s(t)$, čija je srednja snaga ε_1 , prema releju R , i da je na releju R prisutna ko-kanalna interferencija $i_1(t)$, čija je snaga ε_{i1} . Dolazni signal na ulazu terminala R , u sredini u kojoj se nivo šuma može zanemariti zbog dominantnijeg uticaja interferencije, može se zapisati u obliku

$$r_R(t) = \alpha_1 r_s(t) + \alpha_{i1} i_1(t) \quad (1)$$

gde je α_1 amplituda signala u prisustvu fedinga u kanalu između terminala S i R , a α_{i1} amplituda kanalne interferencije u prisustvu fedinga na ulazu terminala R . U neregenerativnim prenosnim sistemima, signal $r_R(t)$ se množi pojačanjem G terminala R i zatim šalje do terminala D gde je takođe prisutna kanalna interferencija $i_2(t)$ od terminala S_2 sa snagom ε_{i2} . Prijemni signal na ulazu u terminal D može predstaviti kao

$$r_D(t) = \alpha_2 G(\alpha_1 r_s(t) + \alpha_{i1} i_1(t)) + \alpha_{i2} i_2(t) \quad (2)$$

gde je α_2 amplituda fedinga u kanalu između terminala R i D , α_{i2} amplituda ko-kanalne interferencije u prisustvu fedinga na ulazu terminala D .

Na kraju, odnos signal-šum na prijemu je dat sledećim izrazom

$$s_{eq} = \frac{\alpha_1^2 \alpha_2^2 G^2 \varepsilon_0}{\alpha_1^2 \alpha_{i1}^2 G^2 \varepsilon_{i1} + \alpha_{i2}^2 \varepsilon_{i2}} = \frac{\frac{\alpha_1^2 \varepsilon_1}{\alpha_{i1}^2 \varepsilon_{i1}} \frac{\alpha_2^2 \varepsilon_2}{\alpha_{i2}^2 \varepsilon_{i2}}}{\frac{\alpha_1^2 \varepsilon_1}{\alpha_{i2}^2 \varepsilon_{i2}} + \frac{\varepsilon_2}{\alpha_{i1}^2 \varepsilon_{i1} G^2}} \quad (3)$$

gde je ε_2 snaga signala na izlazu releja.

Kada je releju dostupna informacija o stanju kanala sa prve deonice, pojačanje se definise kao

$$G_1^2 = \frac{\varepsilon_2}{\alpha_1^2 \varepsilon_1 + \alpha_{i1}^2 \varepsilon_{i1}} \quad (4)$$

Stoga se trenutna vrednost ekvivalentnog izlaznog SIR-a dobija smenom jednačine (4) u jednačinu (3) i ima oblik

$$s_{eq} = \frac{s_1 s_2}{s_1 + s_2 + 1} \quad (5)$$

gde je

$$s_1 = \frac{\alpha_1^2 \varepsilon_1}{\alpha_{i1}^2 \varepsilon_{i1}} \quad (6)$$

trenutna vrednost SIR-a na prvoj deonici i

$$s_2 = \frac{\alpha_2^2 \varepsilon_2}{\alpha_{i2}^2 \varepsilon_{i2}} \quad (7)$$

trenutna vrednost SIR-a na drugoj deonici. Kooperativni sistem sa relejem čije je pojačanje zasnovano na informaciji o trenutnom stanju kanala zahteva stalnu procenu amplitude signala u kanalu sa fedingom sa prve deonice kako bi invertovao uticaj fedinga i ograničio izlaznu snagu releja [5].

Pretpostavljamo da su obe deonice pod uticajem nezavisnog i ne nužno identično raspodeljenog Rejljevog fedinga. U tom slučaju, funkcija gustine verovatnoće amplitude signala u prisustvu fedinga je data izrazom:

$$p_{\alpha_k}(\alpha_k) = \frac{\alpha_k}{\sigma_{\alpha_k}^2} \exp\left(-\frac{\alpha_k^2}{2\sigma_{\alpha_k}^2}\right), k=1, 2 \quad (8)$$

Pod pretpostavkom da je kanalna interferencija u prisustvu fedinga modelovana Rejljevim slučajnim procesom, funkcija gustine verovatnoće amplitude α_{i1} i α_{i2} u prisustvu fedinga je data izrazom:

$$p_{\alpha_{ik}}(\alpha_{ik}) = \frac{\alpha_{ik}}{\sigma_{\alpha_{ik}}^2} \exp\left(-\frac{\alpha_{ik}^2}{2\sigma_{\alpha_{ik}}^2}\right), k=1, 2 \quad (9)$$

Funkcija gustine verovatnoće trenutnog SIR-a na ulazu u terminal R ($k=1$) i terminal D ($k=2$), $s_k = \alpha_k^2 / \alpha_{ik}^2$, se izračunava kao [9, jednačine (5-5) i (6-43)]

$$p_{s_k}(s_k) = \frac{1}{2\sqrt{s_k}} \int_0^\infty s_k p_{\alpha_k}(\alpha_{ik} \sqrt{s_k}) p_{\alpha_{ik}}(\alpha_{ik}) d\alpha_{ik}, k=1, 2 \quad (10)$$

gde je α_k ($k=1, 2$) amplituda željenog signala jedne deonice, i α_{ik} amplituda interferencije na ulazu odgovarajućeg terminala. Zamenom jednačinom (8) i (9) u (10) dobija se funkcija gustine verovatnoće trenutnog SIR-a na ulazu u terminal

$$p_{s_k}(s_k) = \frac{1}{\bar{s}_k} \frac{1}{(1 + s_k / \bar{s}_k)^2} \quad (11)$$

gde je $\bar{s}_k = E[\alpha_k^2] / E[\alpha_{ik}^2] = \sigma_{\alpha_k}^2 / \sigma_{\alpha_{ik}}^2$ srednja vrednost SIR-a po deonici. Funkcija raspodele trenutnog SIR-a na ulazu u terminal R ili D se može izračunati pomoću izraza

$$P_{s_k}(s_k) = \int_0^q p_{s_k}(u) du = \frac{s_k}{s_k + \bar{s}_k}, k=1, 2 \quad (12)$$

III STATISTIKA SIR-A NA KRAJU LINKA

U sistemima u kojima je nivo interferencije mnogo veći od nivoa šuma, kumulativna funkcija raspodele SIR-a na izlazu iz sistema definise se kao verovatnoća da vrednost trenutnog ekvivalentnog SIR-a, s_{eq} , bude ispod određenog, unapred definisanog praga, s .

U ovom slučaju, kumulativna funkcija raspodele SIR-a može se odrediti kao

$$\begin{aligned}
 P_{eq1}(s) &= \int_0^\infty P_{s_1} \left(\frac{s_1 s_2}{s_1 + s_2 + 1} \leq s | s_2 \right) p_{s_2}(s_2) ds_2 = \\
 &= \int_0^s P_{s_1} \left(s_1 \geq \frac{s(s_2 + 1)}{s_2 - s} | s_2 \right) p_{s_2}(s_2) ds_2 + \\
 &\quad \int_s^\infty P_{s_1} \left(s_1 \leq \frac{s(s_2 + 1)}{s_2 - s} | s_2 \right) p_{s_2}(s_2) ds_2 = \\
 &= I_1 + I_2
 \end{aligned} \tag{13}$$

gde su

$$I_1 = \int_0^s p_{s_2}(s_2) ds_2 = \frac{s_2}{s_2 + \bar{s}_2} \tag{14}$$

$$\begin{aligned}
 I_2 &= \int_s^\infty P_{s_1} \left(s_1 \leq \frac{s(s_2 + 1)}{s_2 - s} | s_2 \right) \frac{1}{\bar{s}_2} \frac{1}{(1 + s_2 / \bar{s}_2)^2} ds_2 = \\
 &= \int_s^\infty \frac{s \bar{s}_2 (s_2 + 1)}{\bar{s}_1 (s_2 - s) + s(s_2 + 1)} \frac{1}{(\bar{s}_2 + s_2)^2} ds_2 = \\
 &= \frac{s \bar{s}_2}{s + \bar{s}_2} \frac{1}{(\bar{s}_1 \bar{s}_2 + s(\bar{s}_1 + \bar{s}_2 - 1))^2} \cdot \\
 &\quad \cdot ((\bar{s}_2 - 1)(\bar{s}_1 \bar{s}_2 + s(\bar{s}_1 + \bar{s}_2 - 1)) + \\
 &\quad (s + 1)\bar{s}_1(s + \bar{s}_2) \log \frac{(s + \bar{s}_1)(s + \bar{s}_2)}{s(s + 1)})
 \end{aligned} \tag{15}$$

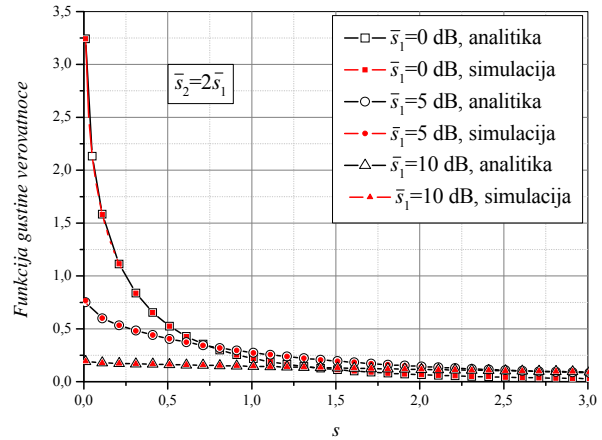
Zamenom jednačine (14) i (15) u (13) dobija se kumulativna funkcija raspodele u zatvorenom obliku trenutnog izlaznog SIR-a za sistem prikazan na slici 1 kada se koristi relj sa pojačanjem koje je zasnovano na informaciji o trenutnom stanju kanala

$$\begin{aligned}
 P_{eq1}(s) &= \frac{s}{s + \bar{s}_2} + \frac{s \bar{s}_2}{s + \bar{s}_2} \frac{1}{(\bar{s}_1 \bar{s}_2 + s(\bar{s}_1 + \bar{s}_2 - 1))^2} \cdot \\
 &\quad ((\bar{s}_2 - 1)(\bar{s}_1 \bar{s}_2 + s(\bar{s}_1 + \bar{s}_2 - 1)) + \\
 &\quad (s + 1)\bar{s}_1(s + \bar{s}_2) \log \frac{(s + \bar{s}_1)(s + \bar{s}_2)}{s(s + 1)})
 \end{aligned} \tag{16}$$

Funkcija gustine verovatnoće trenutnog SIR-a na izlazu definisanog kooperativnog linka može se izračunati diferenciranjem izraza (16) po s i dobija se izraz sledećeg oblika

$$\begin{aligned}
 p_{eq1}(s) &= \frac{\bar{s}_1 \bar{s}_2}{(s + \bar{s}_2)(\bar{s}_1 \bar{s}_2 + s(\bar{s}_1 + \bar{s}_2 - 1))^3} \\
 &\quad \cdot \left(\frac{s^2 \bar{s}_1 (\bar{s}_1 - 1)^2 + s \bar{s}_2 (\bar{s}_1 - 1)^2 (s + 2\bar{s}_1)}{s + \bar{s}_1} + \right. \\
 &\quad \left. + \frac{\bar{s}_2^2 (\bar{s}_1 - 2)(s + \bar{s}_1)^2 + \bar{s}_2^3 (s + \bar{s}_1)^2}{s + \bar{s}_1} + \right. \\
 &\quad \left. + (s + \bar{s}_2)(\bar{s}_1 \bar{s}_2 + s(1 - \bar{s}_1 - \bar{s}_2 + 2\bar{s}_1 \bar{s}_2)) \cdot \right. \\
 &\quad \left. \cdot \log \frac{(s + \bar{s}_1)(s + \bar{s}_2)}{s(s + 1)} \right)
 \end{aligned} \tag{17}$$

Na slici 2 prikazana je funkcija gustine verovatnoće trenutnog SIR-a na izlazu iz sistema sa dve deonice kada se koristi relj sa CSI baziranim pojačanjem za nekoliko vrednosti srednjeg SIR-a \bar{s}_1 . Monte Karlo simulacije su prikazane na istoj slici. Simulacione vrednosti funkcije gustine verovatnoće odredene su na osnovu 10^7 odmeraka. Očigledno je slaganje analitičkih i simulacionih rezultata.



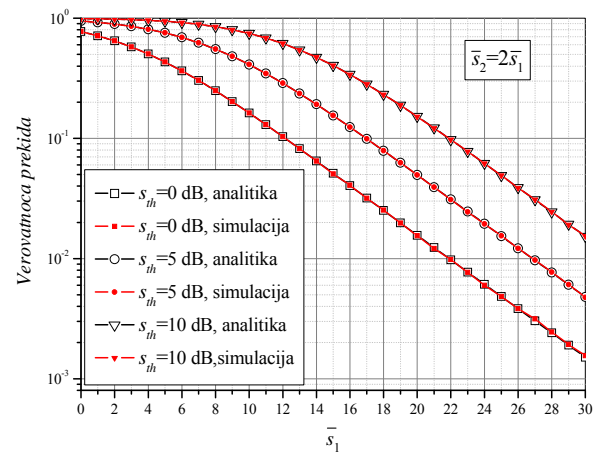
Sl. 2. Funkcija gustine verovatnoće SIR-a na izlazu iz posmatranog sistema

IV VEROVATNOĆA PREKIDA

Verovatnoća prekida P_{out} je jedna od mera performansi sistema u kanalu sa fedingom koja se takođe razmatra i u dizajniranju bežičnog komunikacionog sistema u prisustvu kanalne interferencije.

U sredini u kojoj je nivo šuma zanemarljiv, P_{out} se definiše kao verovatnoća pri kojoj nivo trenutnog SIR-a na izlazu pada ispod unapred definisanog praga. Iznad ovog praga smatra se da je kvalitet usluga zadovoljavajući. Verovatnoća prekida neregenerativnog CSI prenosa dobija se korišćenjem formule (13)

$$P_{out} = P_{eq1}(s_{th}) \tag{18}$$



Sl. 3. Verovatnoća prekida u funkciji srednjeg SIR-a na prvoj deonici za različite vrednosti praga s_{th}

Verovatnoća prekida u funkciji srednjeg SIR-a prve deonice \bar{s}_1 za različite vrednosti praga prikazane su na slici 3.

Numerički rezultati su potvrđeni Monte Karlo simulacijama. Simulacione vrednosti verovatnoće prekida su odredene na osnovu 10^7 odmeraka. Vidljivo je potpuno poklapanje krvih sa simulacijama.

V ZAKLJUČAK

U ovom radu razmatrana je statistika kooperativnog sistema sa neregenerativnim prenosom u prisustvu Rejlijevog fedinga i kanalne interferencije. Izvedeni su analitički izrazi u zatvornom obliku za funkciju gustine verovatnoće i kumulativnu funkciju raspodele trenutnog SIR-a na izlazu linka sa dve deonice i relejem čije je pojačanje zasnovano na informaciji o trenutnom stanju kanala. Razmatran je uticaj interferencije na svakoj deonici. Prikazani numerički rezultati su potvrđeni Monte Karlo simulacijom.

LITERATURA

- [1] Mazen O. Hasna, Mohamed-Slim Alouini, "Outage probability of multihop transmission over Nakagami fading channels", *IEEE Communications Letters*, vol. 7, no. 5, May 2003, pp. 216-218
- [2] Mazen O. Hasna, Mohamed-Slim Alouini, "A performance study of dual-hop transmissions with fixed gain relays", *IEEE Transactions on Wireless Communications*, vol. 3, no. 6, November 2004, pp. 1963-1968
- [3] John Boyer, David D. Falconer, Halim Yanikomeroglu, "Multihop diversity in wireless relaying channels", *IEEE Transactions on Communications*, vol. 52, no. 10, October 2004, pp. 1820-1830
- [4] George K. Karagiannidis, "Performance bounds of multihop wireless communications with blind relays over generalized fading channels", *IEEE Transactions on Wireless Communications*, vol. 5, no. 3, March 2006, pp. 498-503
- [5] Mazen O. Hasna, Mohamed-Slim Alouini, "End-to-end performance of transmission systems with relays over Rayleigh-fading channels", *IEEE Transactions on Wireless Communications*, vol. 2, no. 6, November 2003, pp. 1126-1131
- [6] T. A. Tsiftsis, G. K. Karagiannidis, P. T. Mathiopoulos, S. A. Kotsopoulos, "Nonregenerative Dual-Hop Cooperative Links with Selection Diversity", *EURASIP Journal on Wireless Communications and Networking*, Vol. 2006.
- [7] Mazen O. Hasna, Mohamed-Slim Alouini, "Harmonic mean and end-to-end performance of transmission systems with relays", *IEEE Transactions on Communications*, vol. 52, no. 1, Januar 2004, pp. 130-135
- [8] Caijun Zhong; Shi Jin; Kai-Kit Wong, "Outage Probability of Dual-Hop Relay Channels in the Presence of Interference", *IEEE 69th Vehicular Technology Conference*, 2009, 26-29 April 2009, pp. 1-5
- [9] Papoulis A. *Probability, Random Variables, and Stochastic Processes*, 3rd edition. McGraw-Hill: New York, 1991

VI ABSTRACT

This paper studies SIRs (signal-to-interference ratios) statistics of a dual-hop relay in the presence of co-channel interference. The nonregenerative relay based on channel state information (CSI) and the destination node are both corrupted by co-channel interference. New closed-form expressions for the probability density function (PDF) and cumulative distribution function (CDF) of the output SIR are derived. Numerical results are confirmed by Monte Carlo simulations.

OUTPUT SIR'S STATISTICS OF NONREGENERATIVE COOPERATIVE LINK IN THE PRESENCE OF INTERFERENCE

Aleksandra M. Cvetković, Jelena A. Anastasov, Goran T. Đorđević, Mihajlo Č. Stefanović